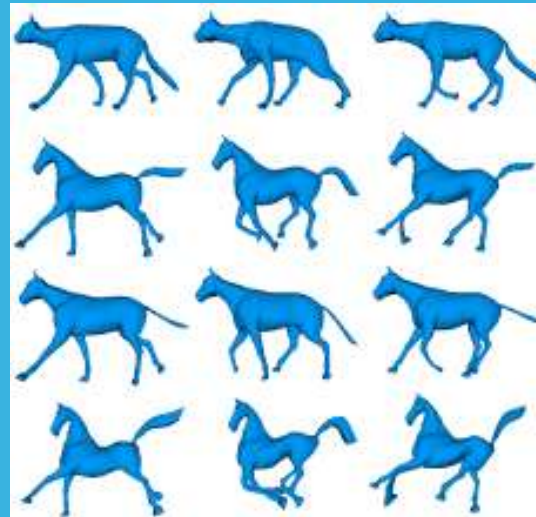


Thème: Transport

Année universitaire: 2018/2019

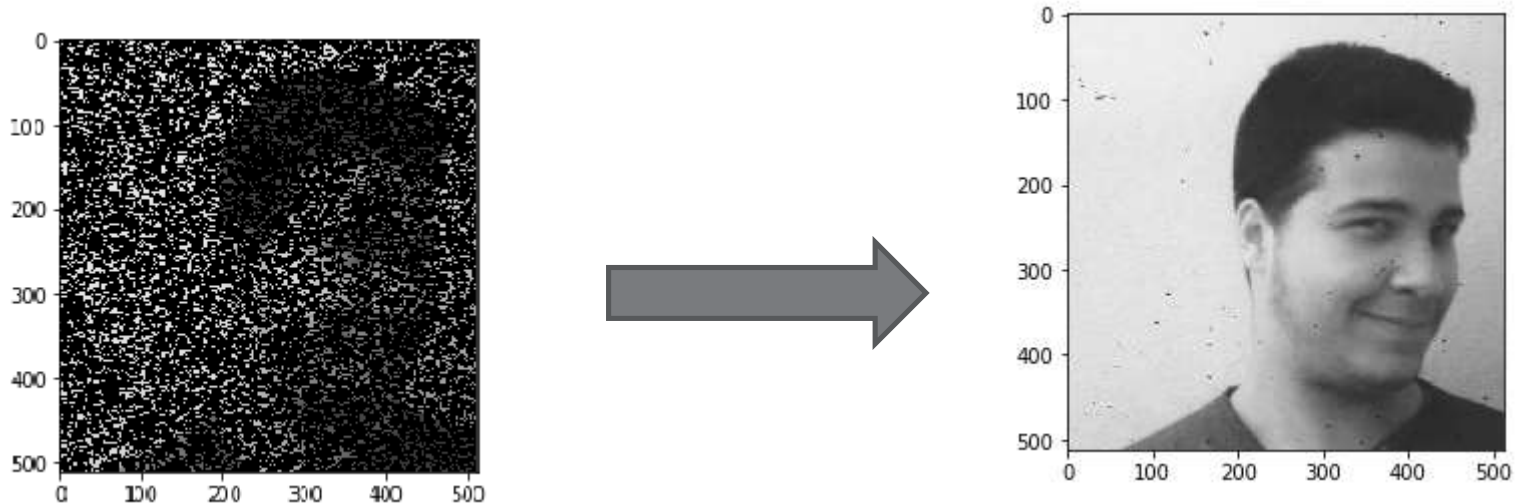
Numéro d'inscription: 14663

TRANSPORT OPTIMAL ET INTERPOLATION D'IMAGES



PROBLÉMATIQUE:

- I- Comment peut-on traiter les images en vertu de la méthode du gradient conjugué ?
- II- Comment peut-on modéliser le transport optimal d'images ?
- III- A quoi ça sert d'utiliser l'Inpainting ?



CONTRIBUTIONS:

- Rencontre du mathématicien français Claude Deschamps (novembre 2018)
- Rencontre du physicien français Edouard Tantart (décembre 2018, février 2019)
- Implémentation d'un code python modélisant le transport optimal des pixels dans une image et mettant en valeur l'interpolation des images.

PLAN DE TRAVAIL:

I- Introduction

II- Les dérivées d'une image

III-Projection sur la contrainte

IV- Résolution par méthode de descente de gradient à pas optimal

V- Minimisation différentielle pour l'inpainting

VI- Conclusion

I- INTRODUCTION:

- Le transport optimal est une discipline qui s'intéresse à l'étude de transport optimal de matière en allouant des ressources minimales
- Plusieurs formulations: Monge et Kantorovitch
- Applications dans plusieurs domaines (militaires, recherche opérationnelles et traitement d'images)
- Problème de transport optimal pour construire une interpolation entre deux images: une image détériorée et une autre corrigée

Mémoire sur la théorie des déblais et des remblais (1781)

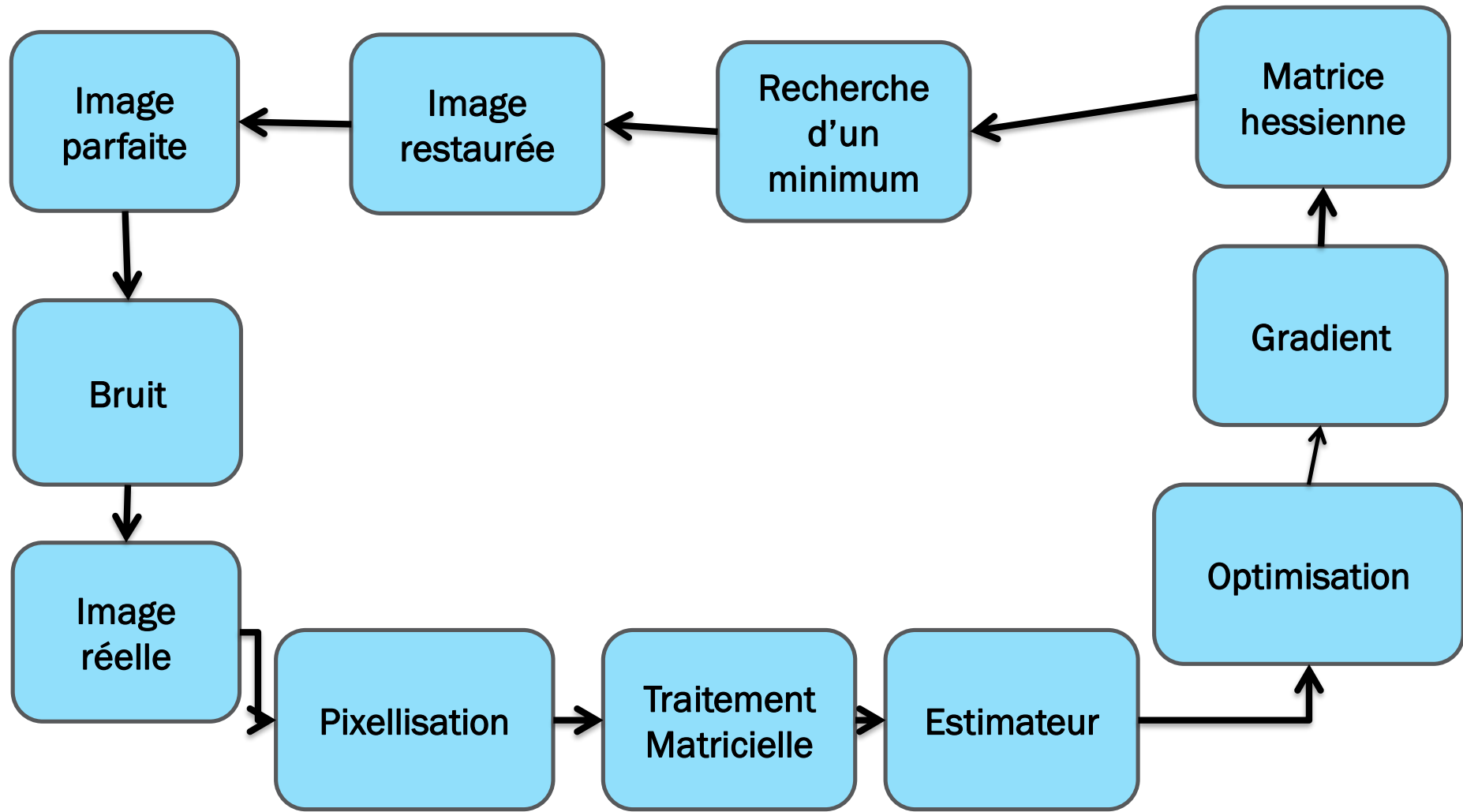
*MÉMOIRE
SUR LA
THÉORIE DES DÉBLAIS
ET DES REMBLAIS.
Par M. MONGE.*

Lorsqu'on doit transporter des terres d'un lieu dans un autre, on a coutume de donner le nom de *Déblai* au volume des terres que l'on doit transporter, & le nom de *Remblai* à l'espace qu'elles doivent occuper après le transport. Le prix du transport d'une molécule étant, toutes choses d'ailleurs égales, proportionnel à son poids & à l'espace qu'on lui fait parcourir, & par conséquent le prix du transport total



POSITION DU PROBLÈME D'INPAINTING:

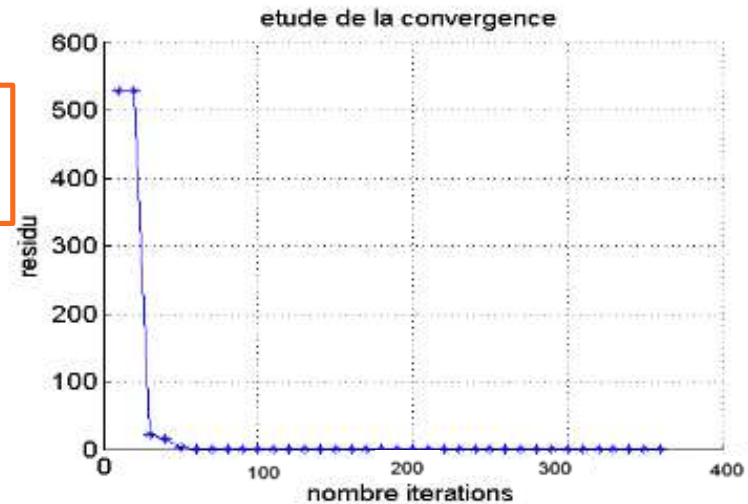
- On modélise l'image par une matrice $H=(h_{i,j}) \in M_{n_1,n_2}(\mathbb{R})$
- $h_{i,j} \in [0,1]$: la valeur de la luminosité
- $M=(m_{i,j})$ la matrice du masque tel que
- $m_{i,j} = \begin{cases} 1, & \text{si le pixel est transmis} \\ 0, & \text{si le pixel n'est pas transmis} \end{cases}$
- On cherche une matrice $U=(u_{i,j})$ tel que $u_{i,j}=h_{i,j}$ si le pixel est transmis afin de trouver une image complète qui corresponde le maximum l'image parfaite d'origine.



RÉSOLUTION PAR LA MÉTHODE DU GRADIENT CONJUGUÉ:

Chaque ingénieur en Machine Learning cherche toujours à améliorer les performances de son modèle. C'est là que l'optimisation, l'un des domaines les plus importants dans le monde moderne, qui entre en jeu. Il nous permet de sélectionner les meilleurs paramètres, associés à la méthode du gradient conjugué que nous utilisons, pour notre problématique. Il s'agit d'un algorithme d'optimisation pour résoudre un système d'équations linéaire itérative qui converge vers un nombre fini d'itérations.

Soit r_k le résidu de la $k^{\text{ème}}$ itération tel que
 $r_k = s - He_k$



➔ Ça converge après 350 itérations

Algorithme itératif en pseudo-code :

L'algorithme ci-dessous résout $He = s$, où H est une matrice réelle, symétrique, et définie positive. Le vecteur d'entrée e_0 peut être une approximation de la solution initiale ou 0.

$$\begin{array}{c} e \\ \text{Image of a silver car} \end{array} \times \begin{array}{c} H \\ \text{Noisy matrix} \end{array} = \begin{array}{c} s = He \\ \text{Noisy image of the car} \end{array}$$

$$r_0 := s - H e_0$$

$$p_0 := r_0$$

répéter

$$\alpha_k := \frac{r_k^T r_k}{p_k^T H p_k}$$

$$e_{k+1} := e_k + \alpha_k p_k$$

$$r_{k+1} := \textcircled{r_k} - \alpha_k H p_k$$

si r_{k+1} est suffisamment petit, alors on sort de la boucle

$$\beta_k := \frac{r_{k+1}^T r_{k+1}}{r_k^T r_k}$$

$$p_{k+1} := r_{k+1} + \beta_k p_k$$

$$k := k + 1$$

fin de répéter

le résultat est e_{k+1}

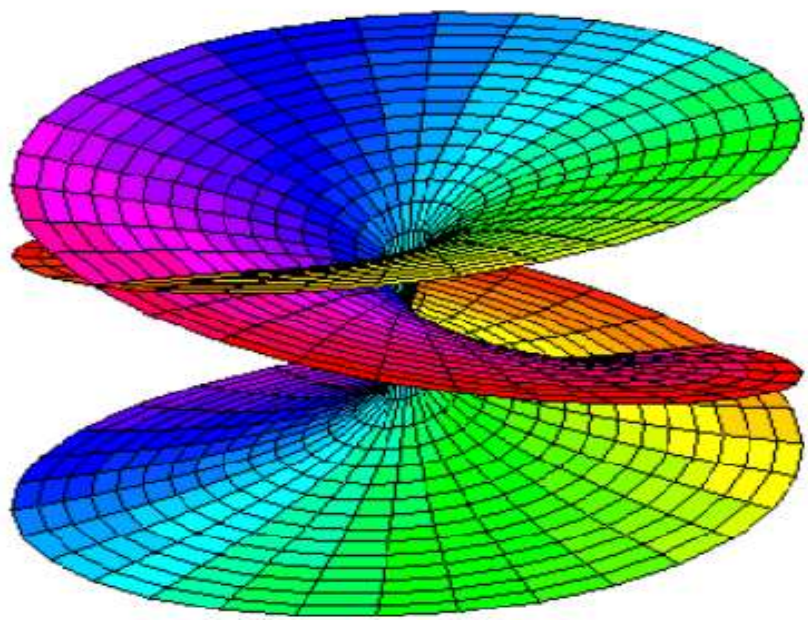
Résidu

Contrainte de conjugaison: c'est une contrainte d'orthonormalité par le procédé de Gram-Schmidt

Comme la matrice H est symétrique définie positive, on peut définir le produit scalaire suivant sur \mathbb{R}^n : $\langle u, v \rangle = u^T H v$

Ainsi, la méthode du gradient conjugué consiste à construire une suite $(p_k)_{k \in \mathbb{N}^*}$ De n vecteurs conjugués . Ainsi, la suite $p_1 \dots\dots\dots p_n$ forme une base de \mathbb{R}^n

Remarque: on dit que deux éléments conjugués si pour tout u,v réels on a $\langle u,v \rangle = 0$



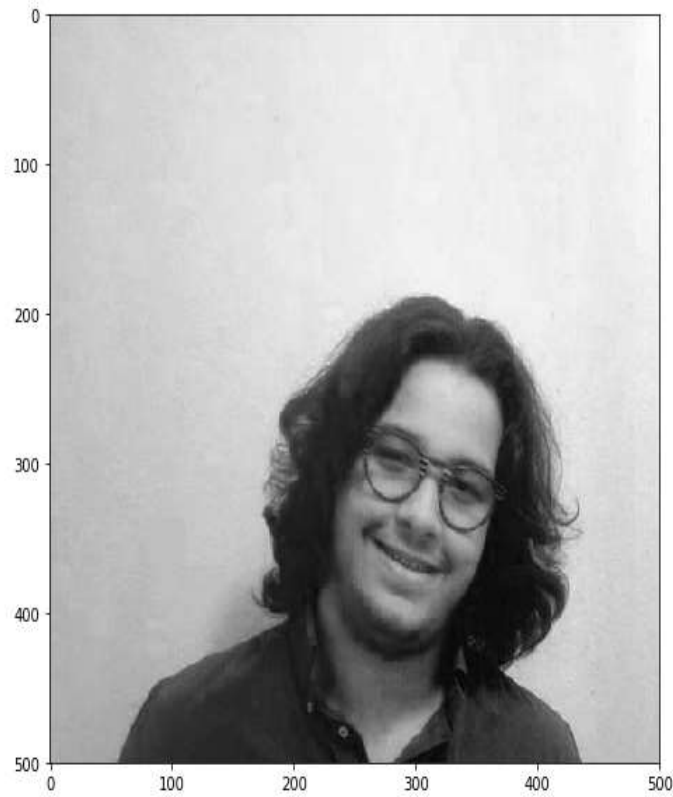
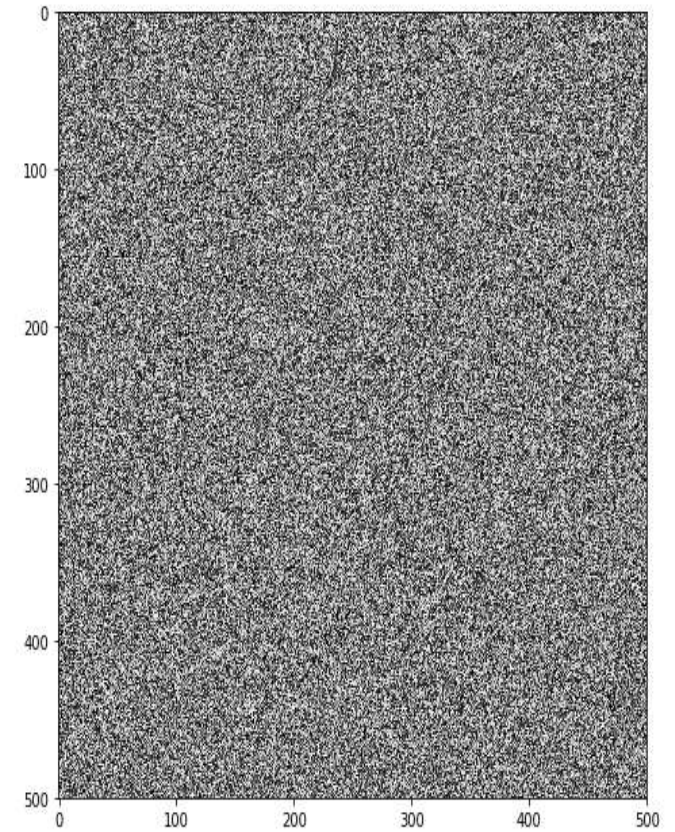


Image réelle



Bruit

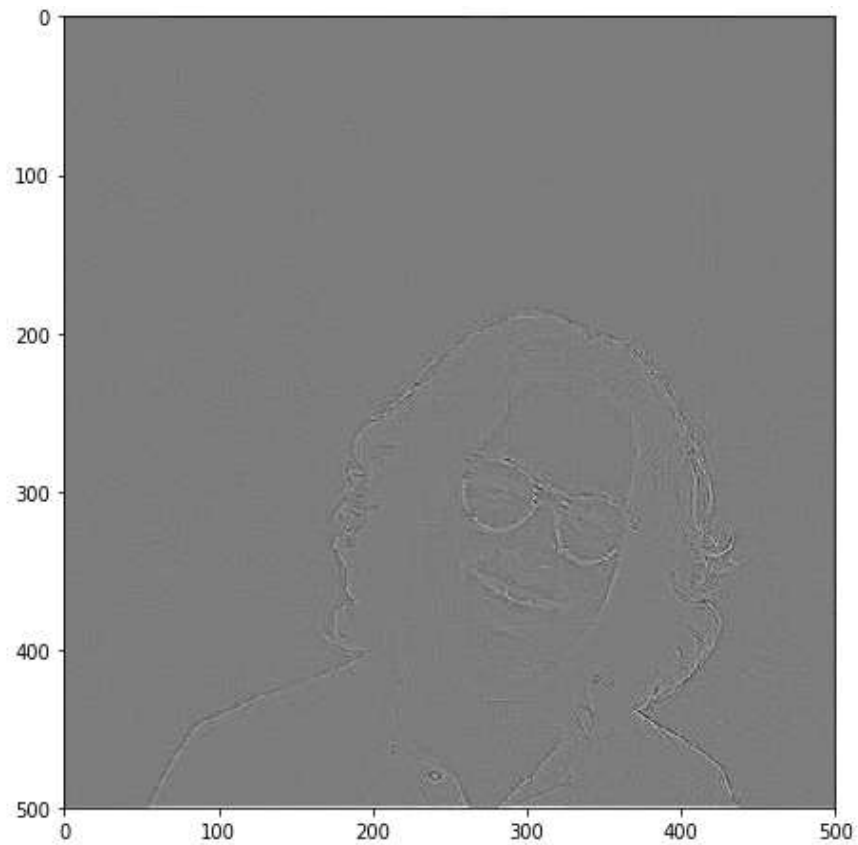
II- LES DÉRIVÉES D'UNE IMAGE:

- Soit I de taille $h \times w$
- On appelle le laplacien de I l'image Δ_I de taille $h \times w$

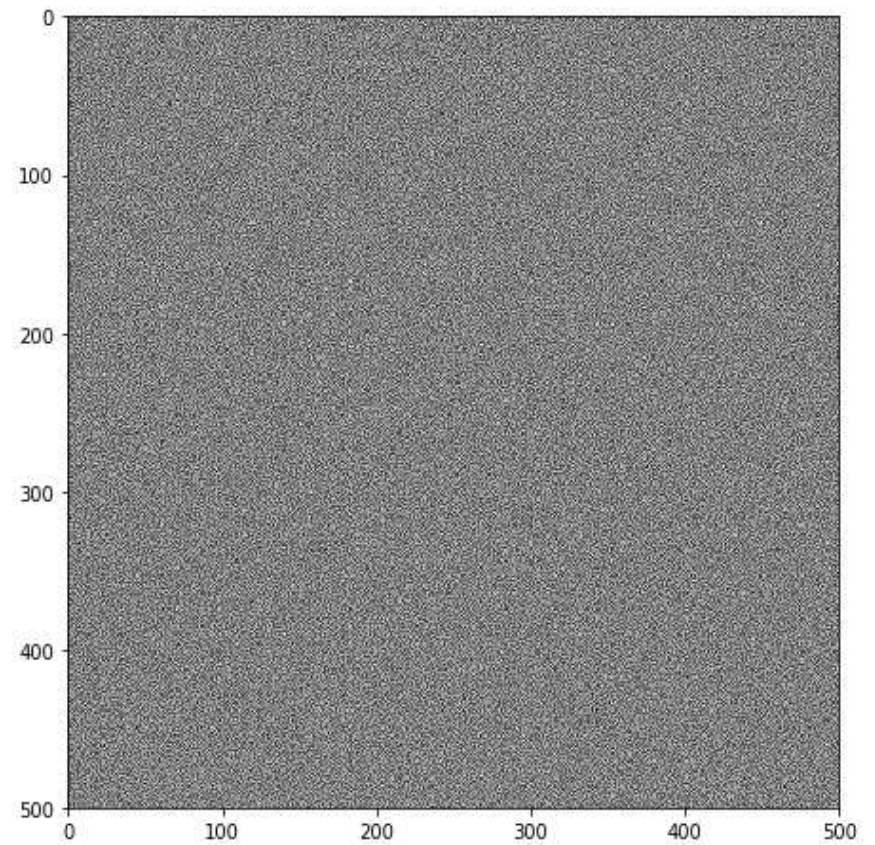
$$(\Delta_I)[i,j] := I[i+1,j] + I[i-1,j] + I[i,j+1] + I[i,j-1] - 4I[i,j]$$

- Le laplacien d'une image initiale est presque uniforme
- On applique le gradient sur l'image

Laplacien de l'image réelle



Laplacien de l'image aléatoire



On appelle énergie H_1 de l'image I le nombre réel

$$H_1(I) := \left[\sum_{i,j} \left(|I[i+1, j] - I[i, j]|^2 + |I[i, j+1] - I[i, j]|^2 \right) \right]^{1/2}.$$

$$[H_1(I)]^2 = -\langle I, \Delta_I \rangle_{\mathbb{R}^{h \times w}} = - \sum_{i,j} I[i, j] \times \Delta_I[i, j]$$

III- PROJECTION SUR LA CONTRAINTE:

- Dans la méthode inpainting, on sait exactement quelle zone on va restaurer



- On sait quels pixels doivent être modifiés et quels pixels doivent rester constant

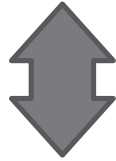


On a accès à un masque M



IV-RÉSOLUTION PAR MÉTHODE DE DESCENTE À PAS OPTIMAL:

- On veut minimiser $H_1(I)$ sous la contrainte $I = P(I)$



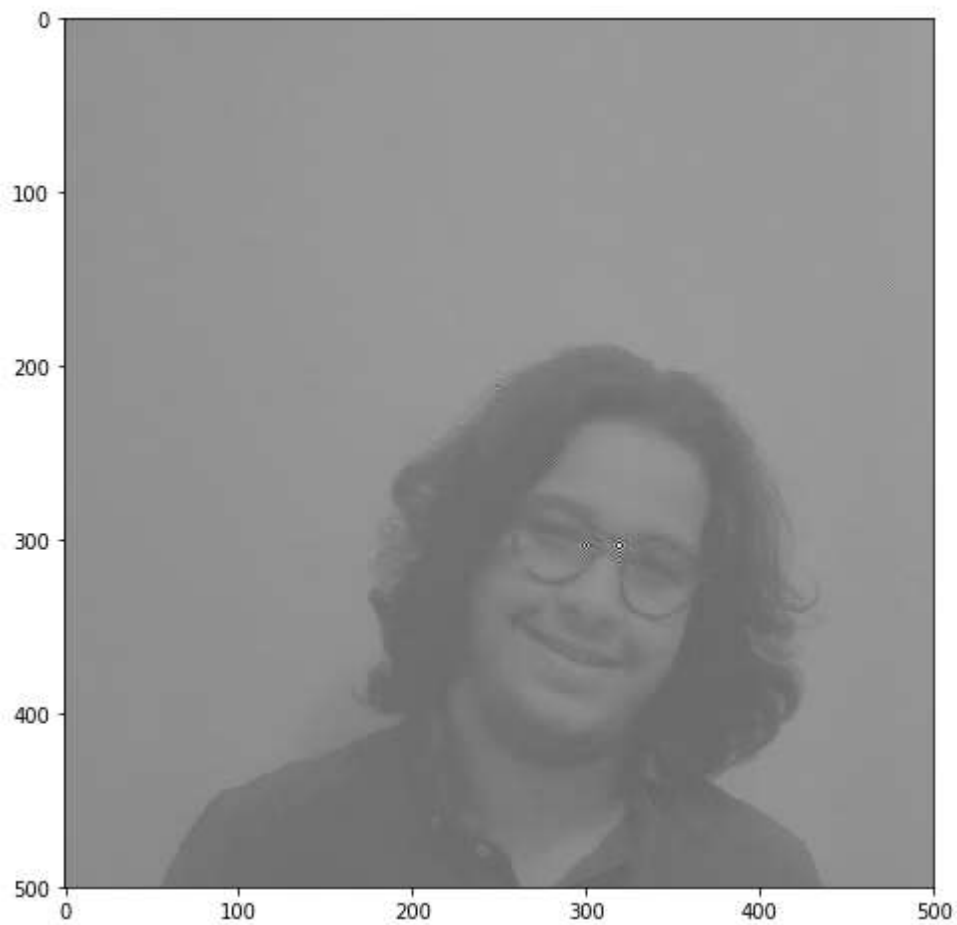
- I est dans l'image de P ou encore les bons pixels de I_m
- L'idée est de faire une descente de gradient à pas constant τ et de projeter les itérations avec P

$$I_{n+1} = P(I_n - \tau \nabla H_1(I_n)).$$

*) Pour faire cela on commence par:

- On commence par calculer le gradient H_1
- On fera attention qu'en parlant de gradient
- On voit ici les images comme des vecteurs $\mathbb{R}^{h \times w}$ où on a juste trié les éléments sous forme d'une image.
- On obtiendra

$$\nabla H_1(I) = \frac{-\Delta_I}{\sqrt{-\langle I, \Delta_I \rangle}}.$$



V- MINIMISATION DIFFÉRENTE POUR L'INPAINTING :

- La minimisation de H_1 donne déjà des résultats relativement convaincants.
- Cependant on arrive encore à lire le texte
- On cherche une nouvelle fonction à minimiser
- On peut regarder par exemple la fonctionnelle suivante appelée

Variation totale

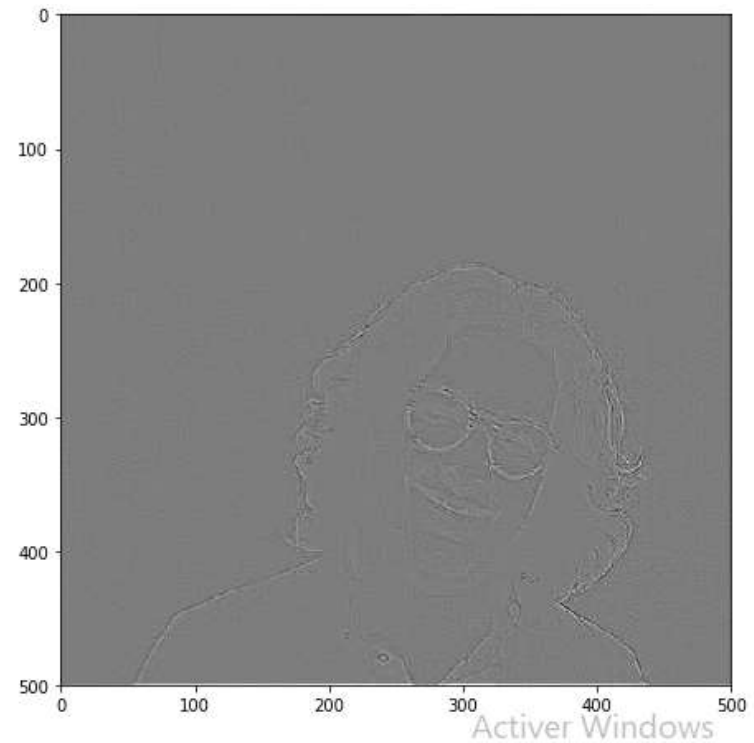
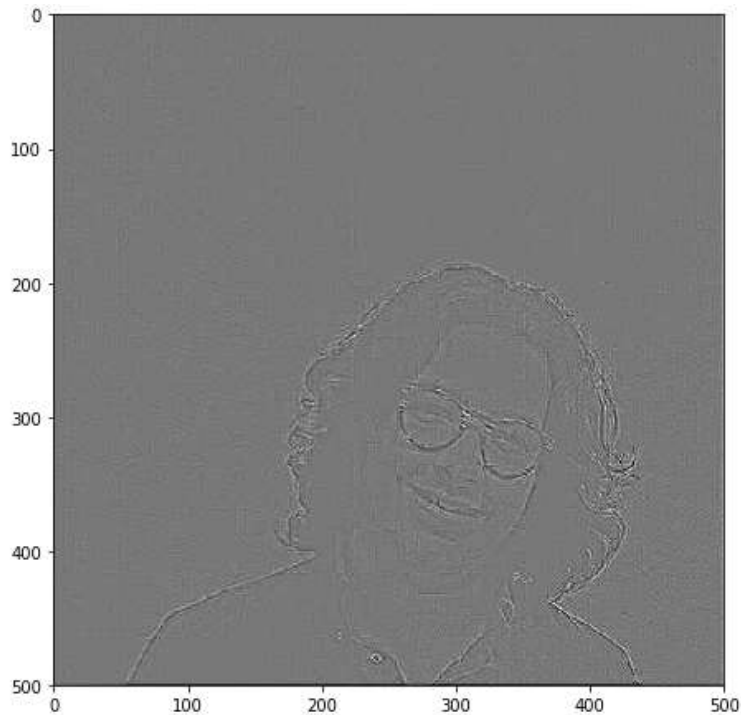
$$TV(I) := \sum_{i,j} \sqrt{\delta + |I[i+1,j] - I[i,j]|^2 + |I[i,j+1] - I[i,j]|^2}.$$

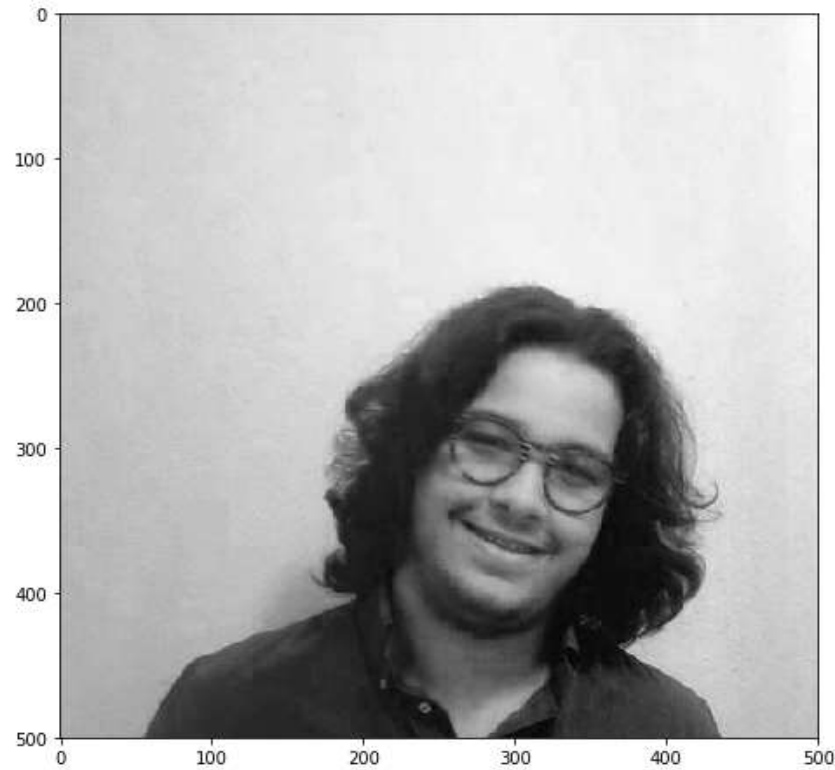
LE GRADIENT DE TV EN I:

$$\begin{aligned}\frac{\partial TV(I)}{\partial I[i, j]} = & \frac{2I[i, j] - I[i + 1, j] - I[i, j + 1]}{\sqrt{\delta + |I[i + 1, j] - I[i, j]|^2 + |I[i, j + 1] - I[i, j]|^2}} \\ & + \frac{I[i, j] - I[i - 1, j]}{\sqrt{\delta + |I[i, j] - I[i - 1, j]|^2 + |I[i - 1, j + 1] - I[i - 1, j]|^2}} \\ & + \frac{I[i, j] - I[i, j - 1]}{\sqrt{\delta + |I[i, j - 1] - I[i + 1, j - 1]|^2 + |I[i, j] - I[i, j - 1]|^2}}.\end{aligned}$$

VI- CONCLUSION:

Le gradient à pas optimal avec l'énergie TV





Et voilà on a bien récupéré notre image originale !!

ANNEXES:

```

from scipy.signal import convolve2d
from math import exp, pi
import random as rd
import numpy as np
import matplotlib.pyplot as plt
import matplotlib.image as img

def mipmapGen(t):
    n, p = np.shape(t)
    t = np.zeros((n, p))

    for i in range(p):
        t[:, i] = t[:, n-1-i]

    return t

def Histogramme(image):
    h = np.zeros(256)
    n = image.shape[0]
    for i in range(n):
        for j in range(256):
            h[j] += 1
    return h

def vectorize(t):
    return np.vectorize(lambda x: 2.0-x**2)

def corr_lambda(delta):
    n, p = np.shape(t)
    t = np.zeros((n, p))
    if delta == 0:
        for i in range(p):
            for j in range(p):
                t[i, j] = mipmap(t, t[i, j]+delta)
    else:
        for i in range(p):
            for j in range(p):
                t[i, j] = max(0, t[i, j]-delta)
    return t

def corr_lambda2(t, delta):
    n, p = np.shape(t)
    t = np.zeros((n, p))
    if delta == 0:
        t = np.vectorize(lambda x: min(1, 0.5+delta)) * t
    else:
        t = np.vectorize(lambda x: max(0, 0.5+delta)) * t
    return t

```

```

def corr_lambda2(t):
    return np.vectorize(lambda x: x**2) * t

def f(x, k):
    y = exp(-x**2)
    if k == 0:
        return 1.0
    elif k == 1:
        return 0.5
    else:
        return y

def corr_lambda2(t):
    return np.vectorize(lambda x: f(x, k)) * t

def readImage(t):
    return np.vectorize(lambda x: 255*(2**np.sqrt(1.255*x)/255)/(2**np-255)) * t

def reduction_taille2(t, k):
    n, p = np.shape(t)
    m, p = np.shape(m)
    t = np.zeros((m, p))
    while k > 0:
        while k > 0:
            t[i, j] = t[i, j] * k**2
            i += 1
        i = 0
        return t

def reduction_taille2(t, k):
    n, p = np.shape(t)
    m, p = np.shape(m)
    t = np.zeros((m, p))
    while k > 0:
        while k > 0:
            t[i, j] = np.mean(t[i, j]*k**2 + t[i, j]*k**2 + t[i, j]*k**2)
            i += 1
        i = 0
        return t

def agrandissement(t, k):
    n, p = np.shape(t)
    m, p = np.shape(m)
    t = np.zeros((m, p))
    for i in range(m):
        for j in range(p):
            t[i, j] = t[i//k, j//k] * k**2 + t[i//k, j//k] * k**2 + t[i//k, j//k] * k**2
    return t

```

```
%pylab inline
gray() # pour afficher toutes les images en noir et blanc
figsize(16,8) #pour afficher les images en grand format
```

```
%pylab inline
gray() # pour afficher toutes les images en noir et blanc
figsize(16,8) #pour afficher les images en grand format
```

```
h,w= shape(Im)
Im_alea = rand(h,w)
imshow(Im_alea)
```

```
def Delta(I):
    Ix = roll(I,1,1) + roll(I,-1,1) - 2*I
    Iy = roll(I,1,0) + roll(I,-1,0) - 2*I
    return Ix + Iy
```

```
subplot(121)
imshow(Delta(Im))
subplot(122)
imshow(Delta(Im_alea))
```

```
def H1(I) :
    return sqrt(-sum(I*Delta(I)))
def H1bis(I) :
    return sqrt(sum( (roll(I,1,1) - I)**2 + (roll(I,1,0) - I)**2))

print("H1(Im) = ", H1(Im))
print("H1(Im_alea) = ", H1(Im_alea))
print('On observe un facteur 3 entre l'énergie H1 d'une image "normale", et celle d'une image aléatoire.'')
```

#Vérification, ne pas modifier

```
assert( abs(H1(Im) - 80.5412) < 1e-3) , "problème dans la fonction H1"
```

```
def P(I):  
    return M*Im + (1-M)*I  
imshow(P(Im_alea))
```

```
def dH1(I):  
    DeltaI = Delta(I)  
    return 1/sqrt(-sum(I*DeltaI))*(-DeltaI)
```

```
def gradientProjete(dH, I0, tau, tol=1e-4, Niter=200):  
    In = I0  
    for n in range(Niter):  
        Inp1 = P( In-tau*dH(In) )  
        if norm(Inp1 - In) < tol:  
            return Inp1  
        In = Inp1  
    print("Problème, l'algorithme n'a pas convergé après", Niter, "itérations")  
    return Inp1
```

```
Istar = gradientProjete(dH1, Im,10)  
imshow(Istar)
```

```
delta = 1e-1  
def TV(I):  
    return sum(sqrt(delta + (roll(I,-1,0) - I)**2 + (roll(I,-1,1) - I)**2))  
print("TV(Im) = ", TV(Im))  
print("TV(Im_alea) = ", TV(Im_alea))
```

```
def dTV(I):  
    J1 = (2*I - roll(I,-1,0) - roll(I,-1,1))/sqrt(delta + (roll(I,-1,0) - I)**2 + (roll(I,-1,1) - I)**2)  
    Iim1 = roll(I,1, 0)  
    J2 = (I - Iim1)/sqrt(delta + (I - Iim1)**2 + (roll(Iim1, -1, 1) - Iim1)**2)  
    Ijm1 = roll(I,1, 1)  
    J3 = (I - Ijm1)/sqrt(delta + (Ijm1 - roll(Ijm1, -1, 0))**2 + (I - Ijm1)**2)  
    return J1 + J2 + J3
```

```
subplot(121)  
imshow(dTV(Im))  
subplot(122)  
imshow(dTV(Im_alea))
```

```
IstarTV = gradientProjete(dTV, Istar, 0.05, tol=1e-10, Niter=1000)  
imshow(IstarTV)  
imshow(dTV(IstarTV))
```